

# LANCÉ

Servicio Clima Espacial

# Reporte Semanal

<http://www.sciesmex.unam.mx>



**AEM**  
AGENCIA ESPACIAL MEXICANA



**CENAPRED**  
CENTRO NACIONAL DE  
PREVENCIÓN DE DESASTRES

# Reporte semanal: 23 al 29 de julio de 2021

## **CONDICIONES DEL SOL**

Regiones activas: 4.

Hoyos coronales: uno en el polo norte con extensión a bajas latitudes, y otro en la región central.

Fulguraciones solares: hubo dos eventos de clase C.

Eyecciones de masa coronal: 3, pero no se propagaron en dirección hacia la Tierra.

Estallidos de radio: se detectó un estallido de radio en la semana.

En general, el Sol, pese a la presencia de cuatro regiones activas, no tuvo manifestaciones de actividad significativas.

## **CONDICIONES DEL MEDIO INTERPLANETARIO**

Se registró una región de compresión.

## **CONDICIONES DE MAGNETÓSFERA**

No se registró actividad significativa.

## **CONDICIONES DE LA IONOSFERA**

No se registraron perturbaciones significativas.

## **CONDICIONES DE PARTÍCULAS ENERGÉTICAS SOLARES**

No se registraron variaciones significativas en los flujos de rayos cósmicos.

## PRONÓSTICOS

### Viento solar:

- Se pronostica para los próximos días un viento solar ambiente con velocidades promedio de 300-500 km/s sin perturbaciones significativas.

### Fulguraciones solares:

- La presencia de regiones activas en el disco solar podría producir algunas fulguraciones, si es que estas regiones evolucionan y se vuelven más complejas en los próximos días.

### Tormentas ionosféricas:

- No se esperan eventos que perturben la ionosfera de manera significativa en los próximos días.

### Tormentas geomagnéticas:

- No se pronostican eventos transitorios que perturben el campo geomagnético de manera significativa en los próximos días. Sin embargo, el hoyo coronal puede producir una región de interacción que pase por la Tierra y genere actividad geomagnética.

### Tormentas de radiación solar:

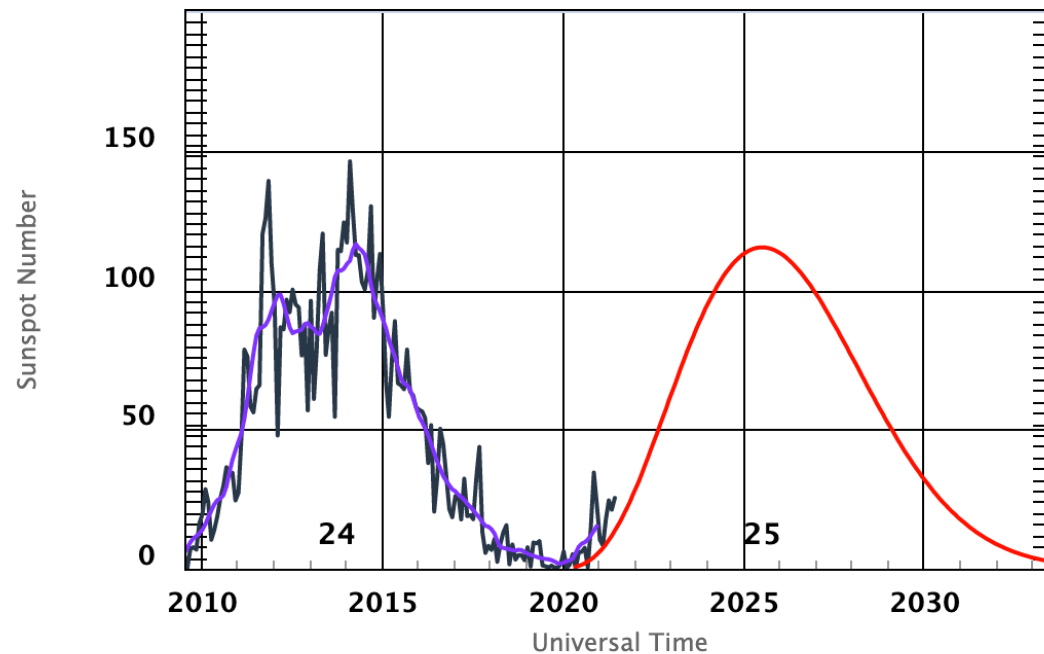
- No se esperan tormentas significativas en la próxima semana.

### Eventos de partículas energéticas:

- No se pronostican variaciones significativas en la próxima semana.

# Ciclo de manchas solares y la actividad solar

ISES Solar Cycle Sunspot Number Progression



◆ Monthly Values    — Smoothed Monthly Values    — Predicted Values  
Space Weather Prediction Center

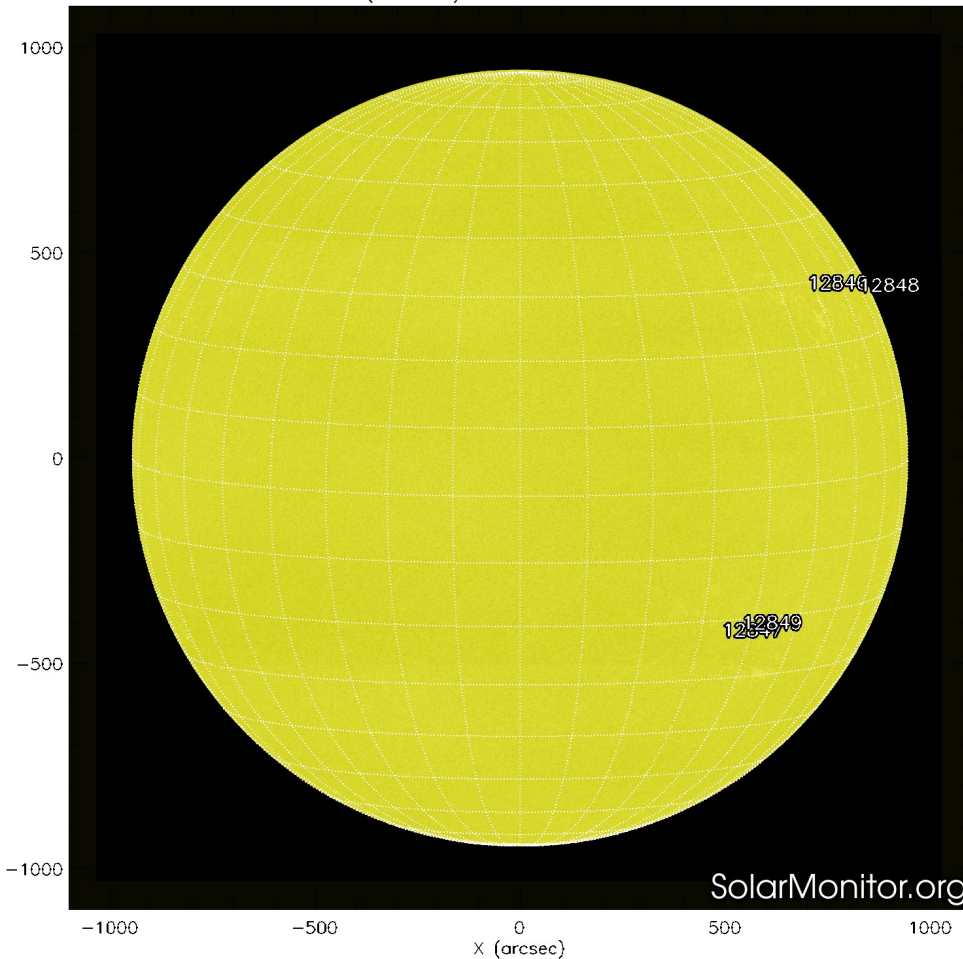
La figura muestra el conteo del número de manchas solares desde noviembre de 1996. La gráfica muestra la evolución de los últimos dos ciclos solares (24 y 25).

Entre más manchas solares presente el Sol, es mayor la posibilidad de que ocurra una tormenta solar.

Estamos en el inicio del ciclo de actividad solar 25.

<http://www.swpc.noaa.gov/products/solar-cycle-progression>

SDO HMI (6173 Å) 29-Jul-2021 22:46:45.500



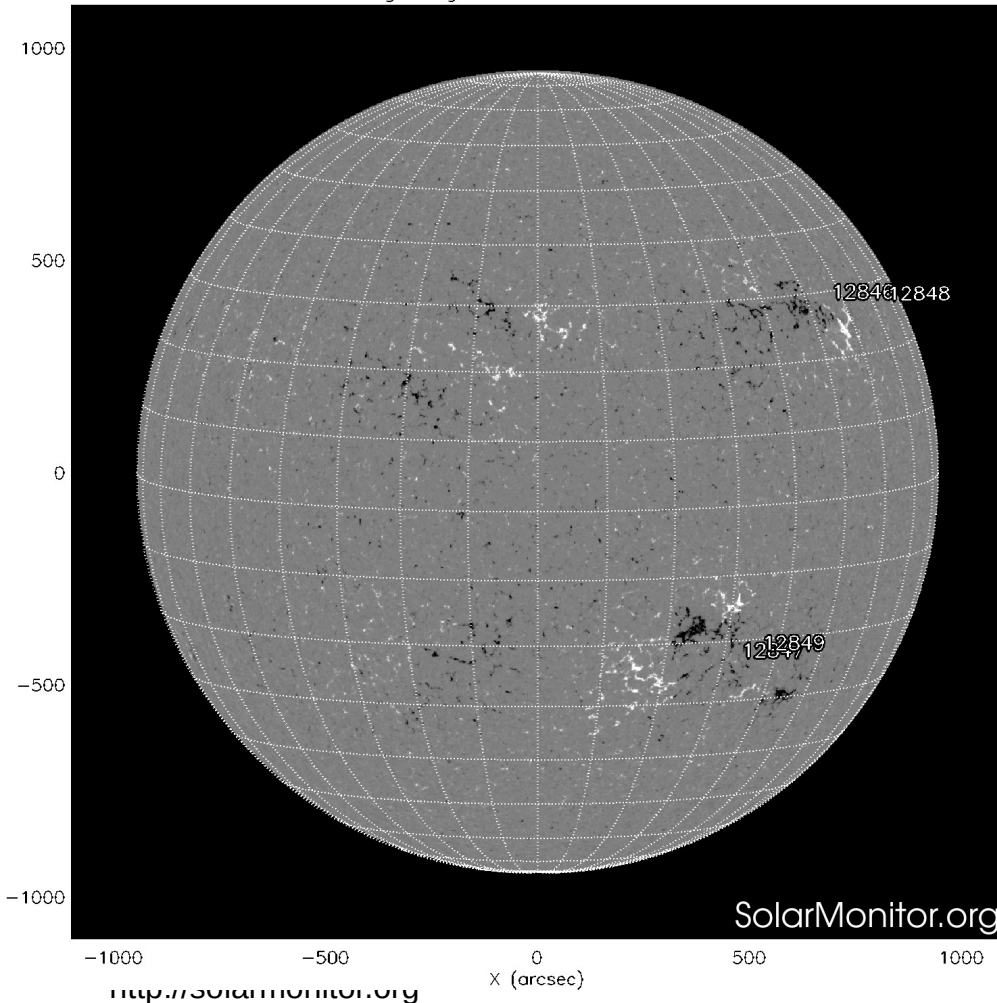
La fotosfera es la zona “superficial” del Sol, donde aparecen las manchas solares. Regiones oscuras formadas por material más frío que sus alrededores y que contienen intensos campos magnéticos. Las manchas solares están relacionadas con la actividad solar.

El Sol al 29 de julio de 2021:

En la imagen reciente de la fotosfera se observan cuatro manchas solares: 12846, 12847, 12848 y y 12849 que tienen presencia desde la semana pasada.

<http://solarmonitor.org>

SDO HMI Magnetogram 29-Jul-2021 21:58:45.500



Un magnetograma solar permite identificar las regiones de intensos campos magnéticos solares. En general, estos campos magnéticos están asociados a manchas solares.

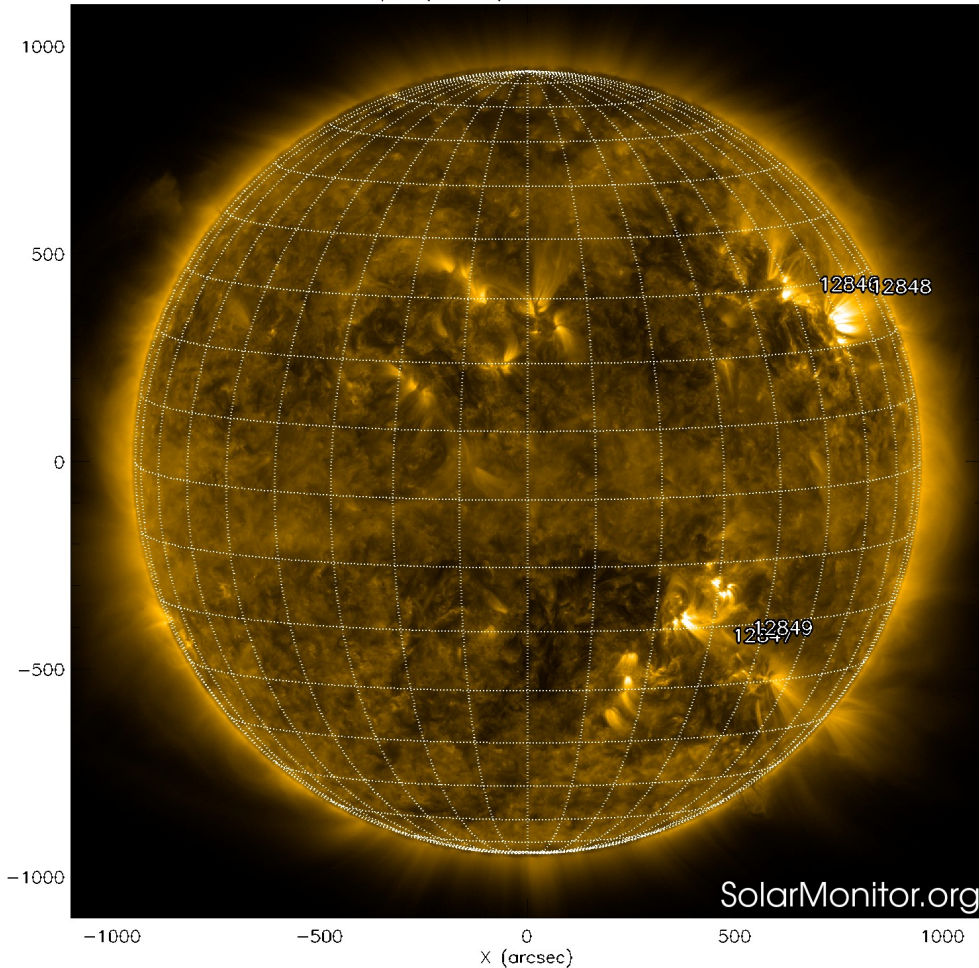
Las regiones de color blanco (negro) son zonas por donde salen (entran) líneas de campo magnético, correspondientes a polaridad positiva (negativa).

El Sol al 29 de julio de 2021:

El magnetograma muestran cuatro regiones bipolares las cuales están asociadas a las regiones activas.: 12846, 12847, 12848 y 12849.

# Atmósfera solar y regiones activas

SDO AIA Fe IX/X (171 Å) 29-Jul-2021 23:24:21.347



El Sol en rayos X suaves (171 Å). La emisión de Fe IX y X revela la estructura magnética en la región de la atmósfera solar llamada corona solar que se encuentra a 630,000 K.

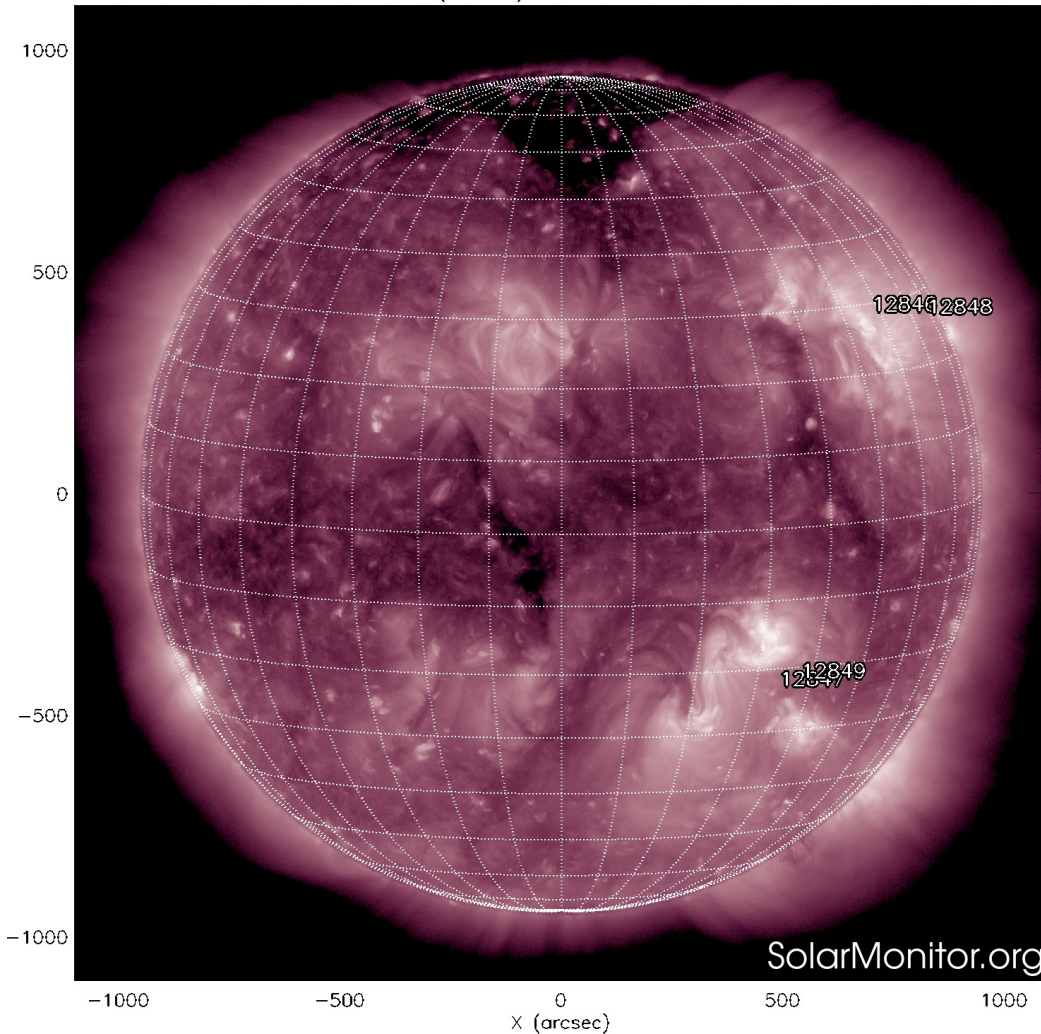
Las regiones activas (zonas claras) son los lugares donde se presentan los fenómenos de actividad solar más importantes. Las regiones activas están regularmente asociadas a las manchas solares.

El Sol al 29 de julio de 2021:

Se observan siete regiones activas: 12846, 12847, 12848 y 12849.

<http://solarmonitor.org>

SDO AIA Fe XII (211 Å) 29-Jul-2021 23:27:57.629



El Sol en rayos X suaves (211 Å). La emisión de Fe XIV revela la estructura magnética en la alta corona que se encuentra a 2,000,000 K.

Los hoyos coronales (regiones oscuras) son regiones de campo magnético solar localmente abierto. Los hoyos coronales son fuente de las corrientes de viento solar rápido.

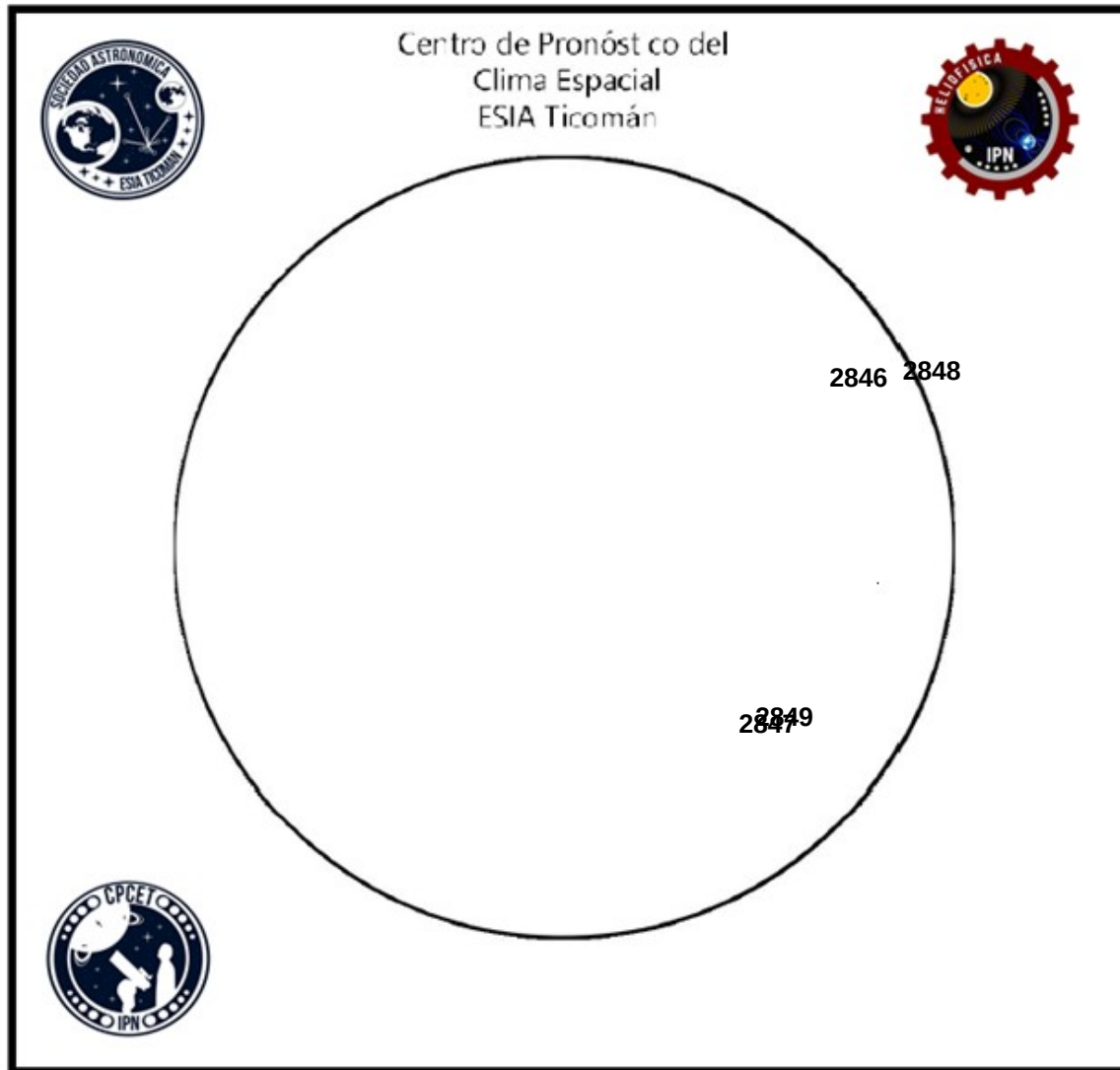
El Sol al 29 de julio de 2021:

Se observa un hoyo coronal en el polo norte y otro hoyo en la región central del disco solar.

# Número de Wolf

# LANCÉ

Laboratorio Nacional  
de Clima Espacial



El número de Wolf es un valor que permite evaluar numéricamente la actividad solar mediante el conteo de manchas solares ubicadas sobre la superficie del Sol. Este se calcula a partir de la fórmula desarrollada por Rudolf Wolf en 1849:

$$W=k(10 * G+F)$$

Donde:

K= Es un factor de corrección que depende de cada observatorio.

F= Cantidad total de manchas solares visibles sobre el disco solar.

G= Cantidad de grupos manchas solares visibles sobre el disco solar.

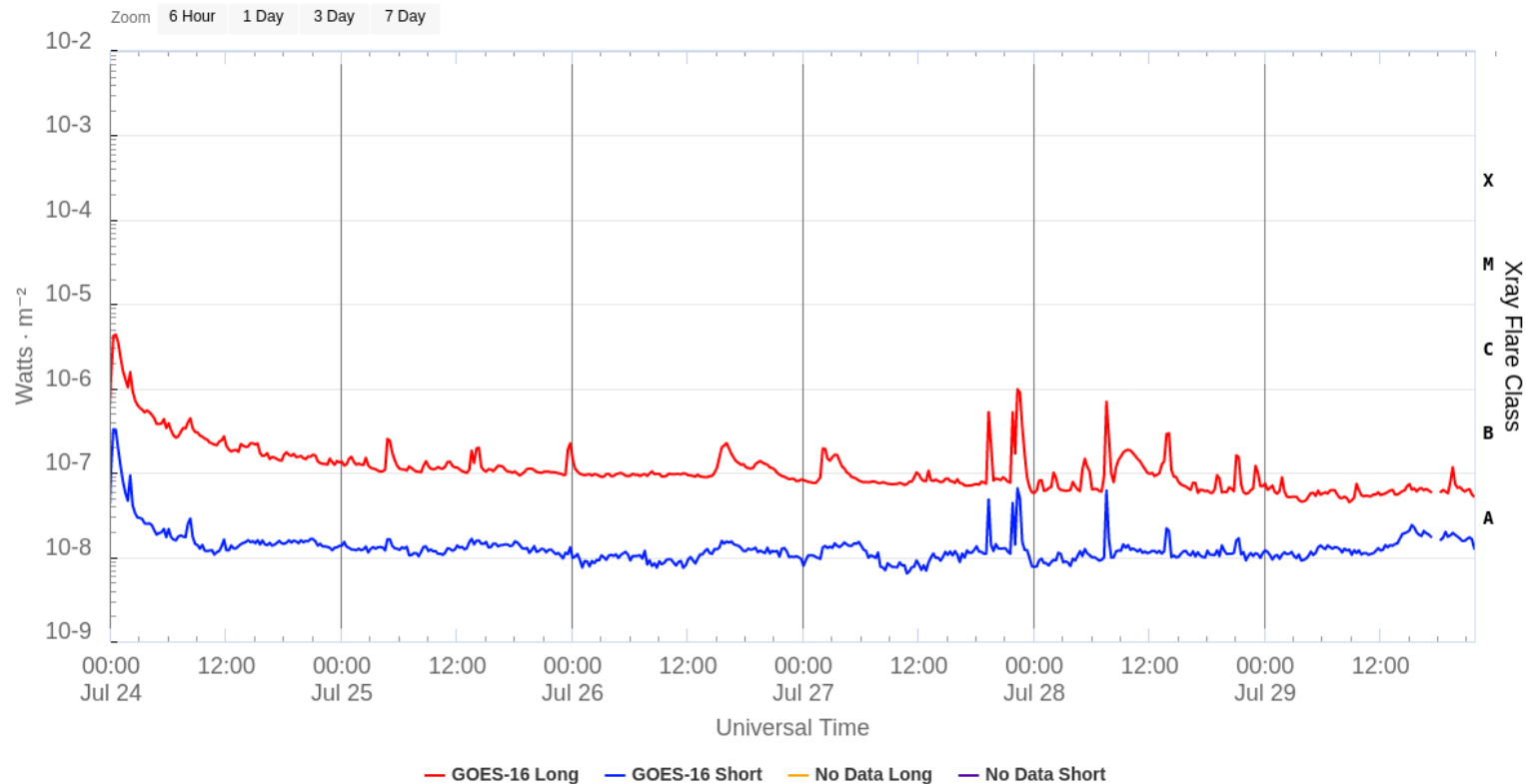
Número de Wolf máximo esta semana: **77**

Durante esta semana se pudieron observar siete regiones activas en la superficie del Sol. Estas fueron la 2846, 2847, 2848 y 2849 con coordenadas N24W54, S28W35, N21W88 y S27W38 respectivamente.

# Fulguraciones solares

Flujo de rayos X solares detectado por los satélites GOES. Con la presencia de 4 se produjeron 2 fulguraciones importantes de clase C, un evento C4.3 el día 24 y un C1 el día 27.

GOES X-Ray Flux (1-minute data)



<https://www.swpc.noaa.gov/products/goes-x-ray-flux>

# Actividad solar: Eyecciones de Masa Coronal

- >> July 27, 03:48h
- >> July 28, 15:16h
- >> July 28, 15:48h

- Eyecciones observadas por SOHO/LASCO.
- No se esperan repercusiones en el entorno geomagnético.

	28/07	27/07	27/07
Velocidad* (km/s)	301	4370	215
Posición angular*	119	118	122
Ancho angular*	14	15	13

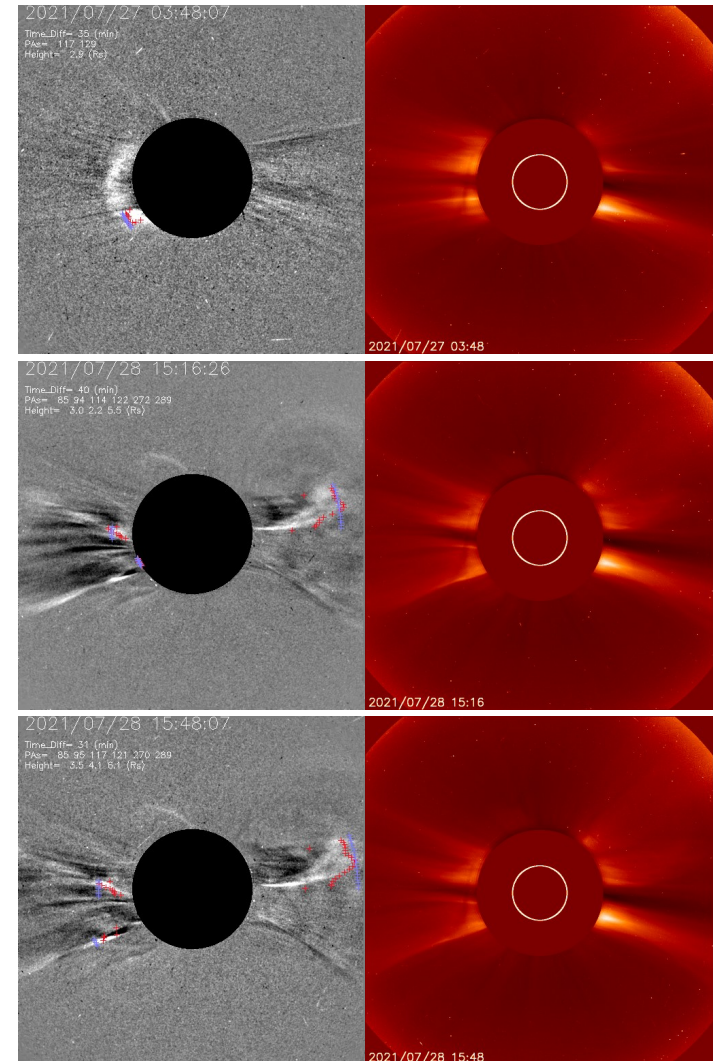
(\*)Valores estimados sobre la proyección en el plano del cielo y no en la dirección Sol-Tierra.

(+)Tiempo de inicio de la observación.

Crédito imágenes y valores estimados:  
SOHO, the Solar & Heliospheric Observatory  
SEEDS-- George Mason University, Space Weather Lab

Diferencia de imágenes  
SEEDS-GMU

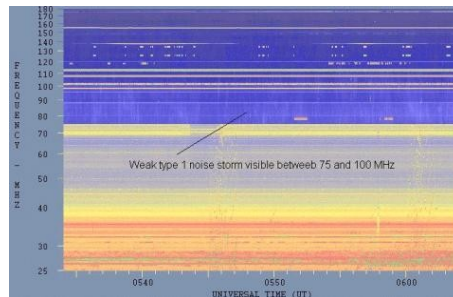
ESA-NASA/ SOHO LASCO C2  
SEEDS-GMU



# Tipos de estallidos de radio solares

**Tipo I:** Estallidos cortos y banda de emisión estrecha. Ocurren en un gran número sobre un continuo de emisión. Duración de 1 s y en tormenta de horas a días.

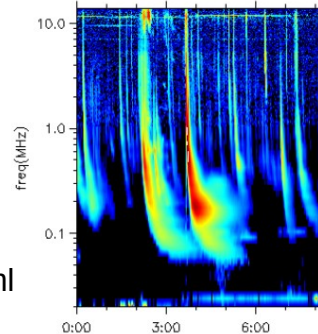
Se asocian con regiones activas, fulguraciones y protuberancias eruptivas



[spaceacademy.net.au/env/sol/solradp/solradp.htm](http://spaceacademy.net.au/env/sol/solradp/solradp.htm)

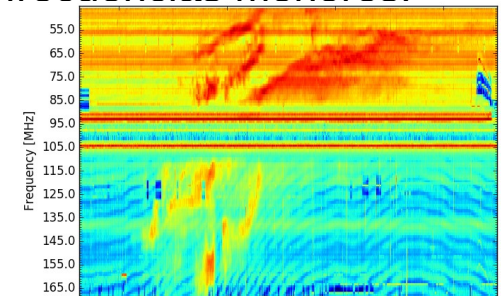
**Tipo III:** Estallidos de deriva rápida, con duración de pocos segundos en el rango métrico. Tienen anchos de emisión amplios. Son producidos en fulguraciones donde son expulsados a velocidades relativistas.

Se pueden presentar también como tormentas de estallidos.



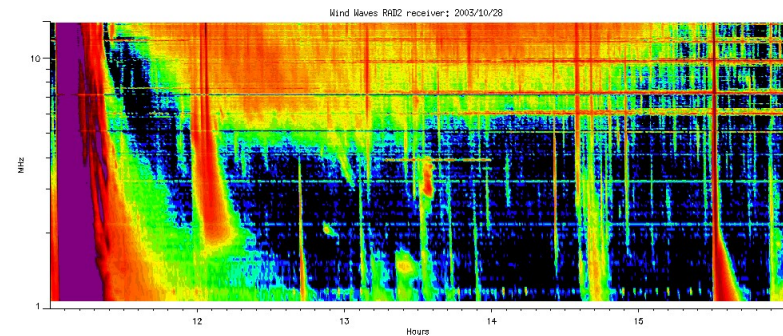
[ssed.gsfc.nasa.gov/waves/data\\_products.html](http://ssed.gsfc.nasa.gov/waves/data_products.html)

**Tipo II:** Estallidos de deriva lenta. Son la firma de ondas de choque, producidas por fulguraciones o EMCs, que se propagan cerca del Sol y medio interplanetario. Presentan anchos de de emisión estrechos que derivan a frecuencias menores.



[www.rice.unam.mx/callisto](http://www.rice.unam.mx/callisto)

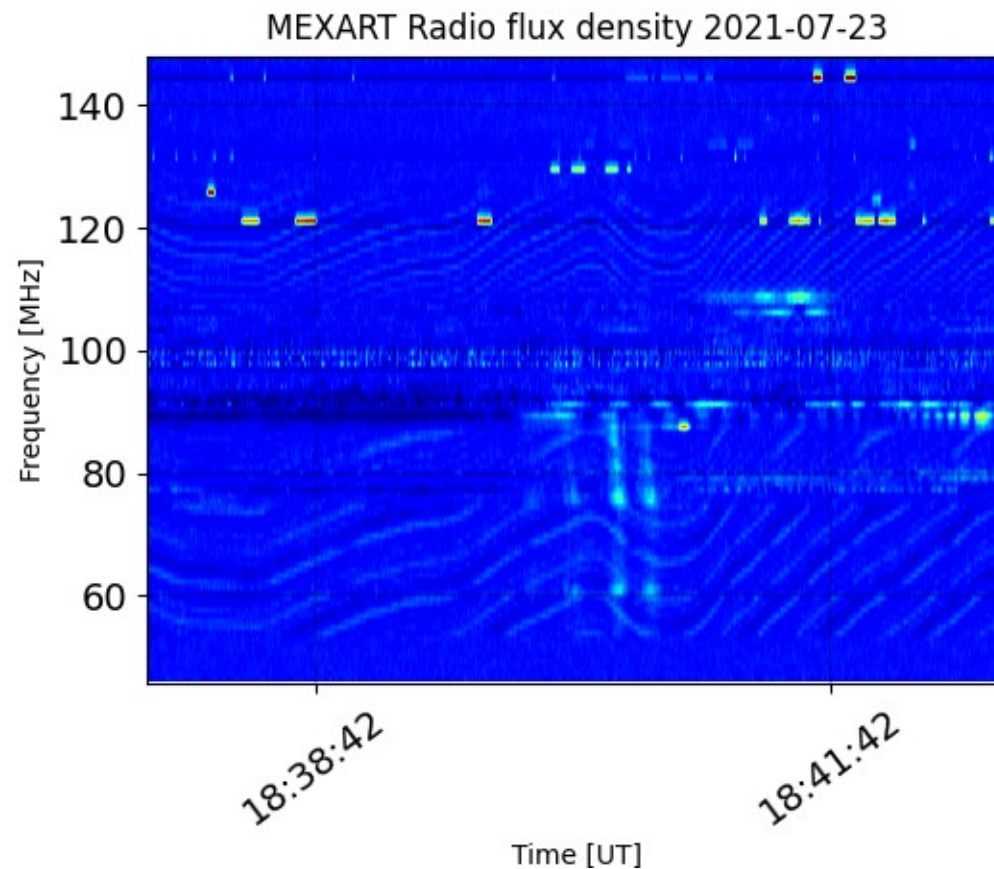
**Tipo IV:** Se relacionan con fulguraciones, tienen anchos de banda amplios y pueden durar horas.



[https://ssed.gsfc.nasa.gov/waves/data\\_products.html](https://ssed.gsfc.nasa.gov/waves/data_products.html)

# Estallidos de radio solares: Observaciones de Callisto-MEXART

Callisto-MEXART detectó un estallido de radio tipo III el día “#” a las 18:40 en tiempo universal.



<http://www.rice.unam.mx/callisto/lightcurve/2021/07>

# Medio interplanetario: El viento solar cercano a la Tierra

## Modelo numérico WSA-ENLIL.

El modelo pronostica un ambiente solar terrestre con el arribo de corrientes de viento solar promedio con velocidades que oscilan entre los 300 km/s y 500 km/s para los próximos días. No se esperan variaciones importantes de la densidad del plasma, ni tampoco se pronostica el arribo de ninguna EMC.

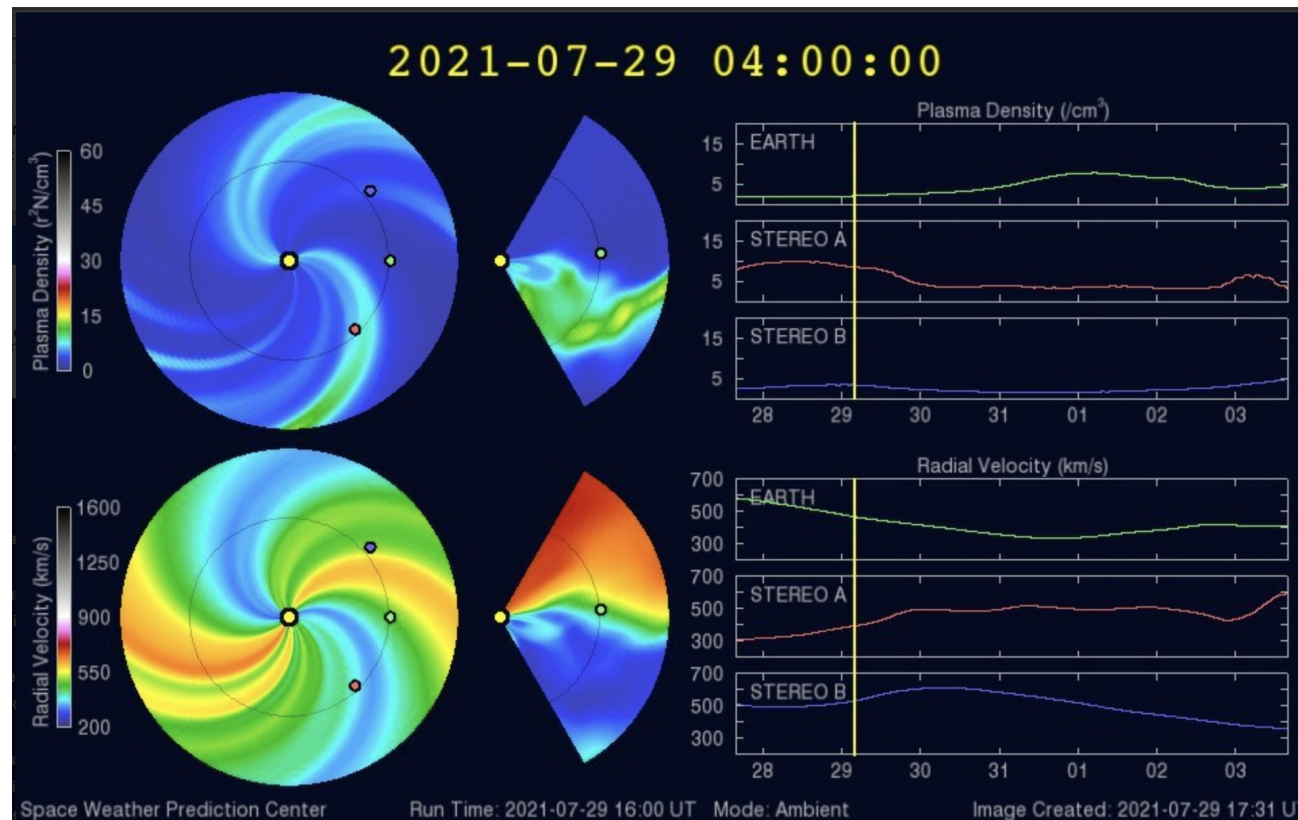
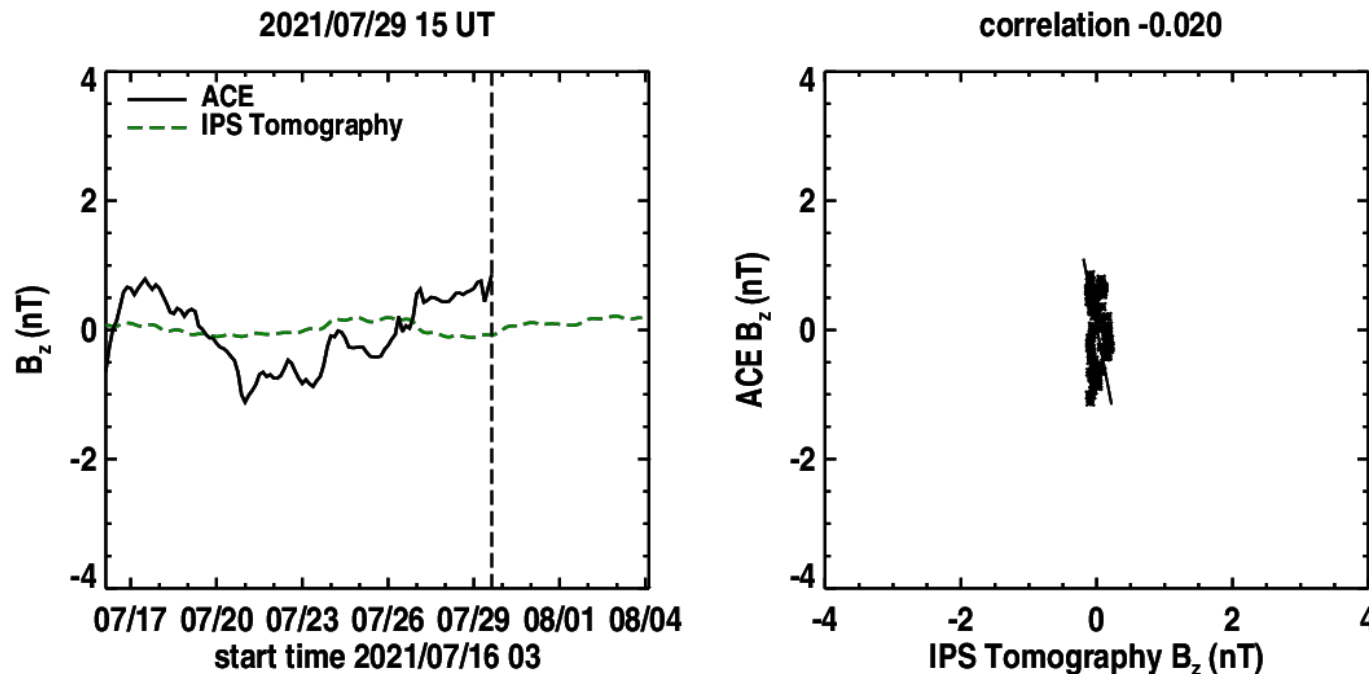


Imagen: <http://www.swpc.noaa.gov/products/wsa-enlil-solar-wind-prediction>

# Medio interplanetario: El viento solar cercano a la Tierra

Pronóstico de la componente  $B_z$  del viento solar cercano a la Tierra usando la tomografía con datos IPS.



**(Izquierda)** Se pronostica una componente  $B_z$  que tiende a cero. **(Derecha)** La comparación con las observaciones del Advanced Composition Explorer (ACE) no indicaron una correlación en el último pronóstico.

Imagen: [http://ips.ucsd.edu/high\\_resolution\\_predictions](http://ips.ucsd.edu/high_resolution_predictions)

# Medio interplanetario: Región de interacción de viento solar

CHIMERA Coronal Holes at 22-Jul-2021 23:24:28.844 UT

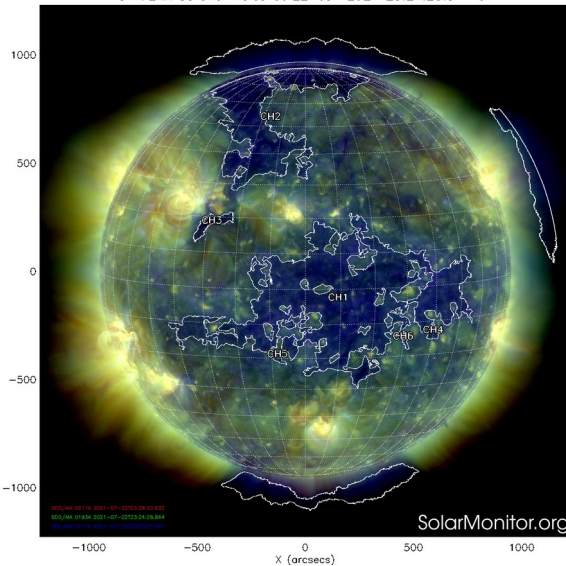


Imagen 1: <https://solarmonitor.org/chimera.php>

Esta semana se registró una región de interacción (área sombreada en imagen 2). El origen del viento solar rápido es un hoyo coronal localizado en latitudes bajas (CH1 en imagen 1). Dicha región de compresión no generó tormenta geomagnética. En la imagen 2 (área sombreada en amarillo) vemos la hoja de corriente heliosférica por arriba del plano de la eclíptica.

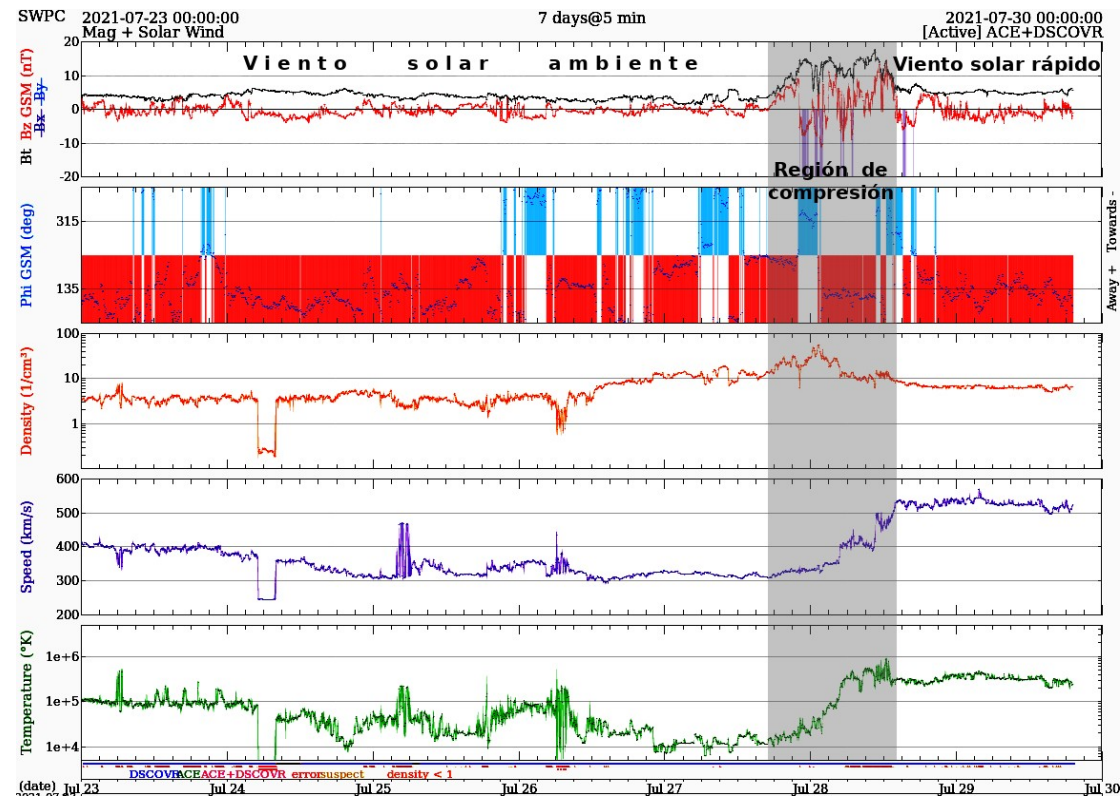


Imagen 3: <http://www.swpc.noaa.gov/products/real-time-solar-wind>

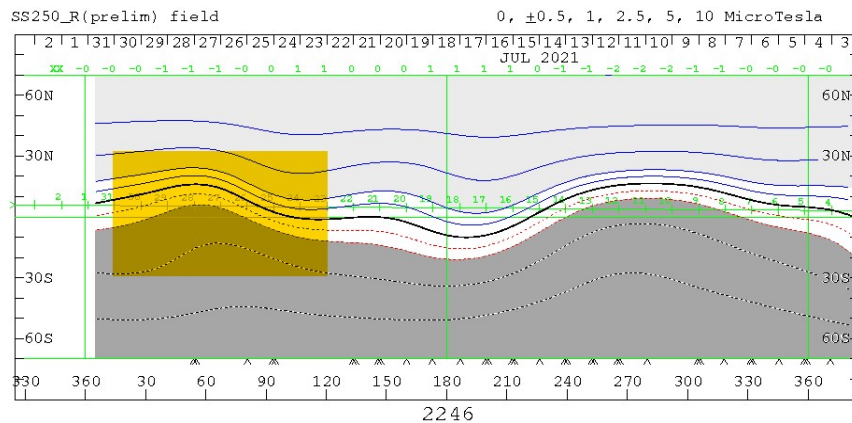


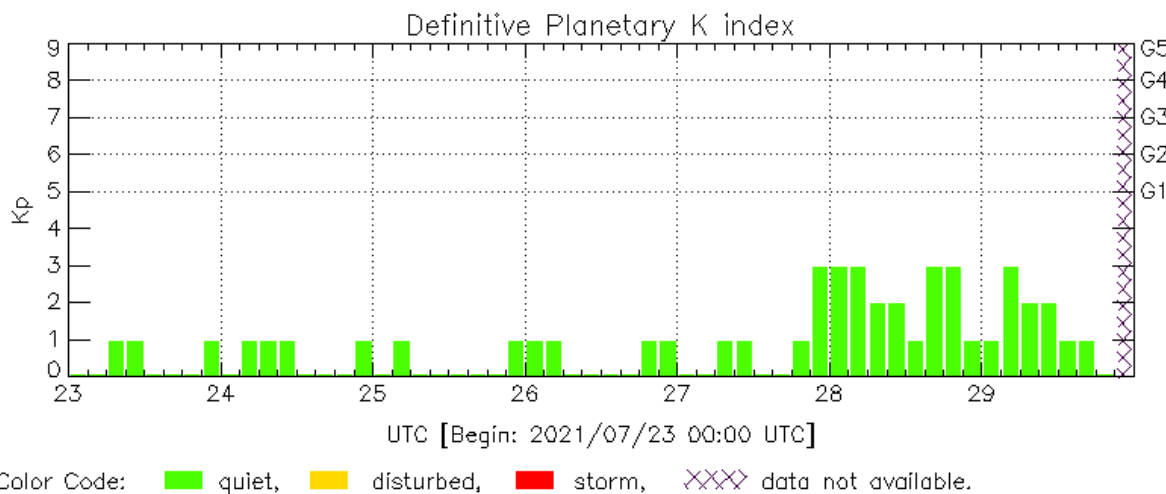
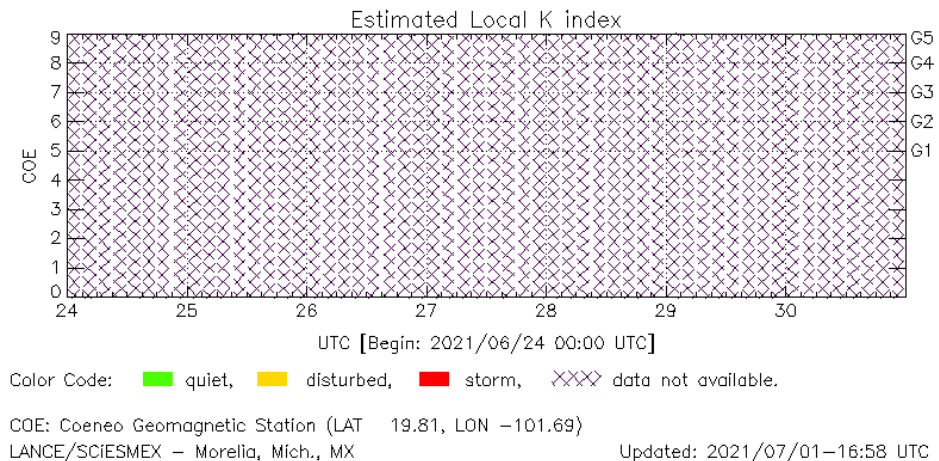
Imagen 2: <http://wso.stanford.edu/SYNOP/>

# Perturbaciones geomagnéticas: Índices geomagnéticos Kp y Kmex

Fue una semana quieta y no se registró actividad geomagnética significativa durante la semana.

NOTA: El cálculo del índice Kmex se realiza por la estación geomagnética de Coeneo, Mich. Los datos son experimentales y no se deben de tomar como definitivos. **A partir del 24 de mayo la estación geomagnética de Coeneo se encuentra en proceso de mantenimiento técnico.**

Datos: [www.gfz-potsdam.de/en/kp-index/](http://www.gfz-potsdam.de/en/kp-index/)



Kp: by GFZ German Research Center for Geosciences  
<https://www.gfz-potsdam.de/en/kp-index/>

Updated: 2021/07/29-18:46 UTC

El índice K indica la intensidad de las variaciones del campo magnético terrestre en intervalos de 3 horas.

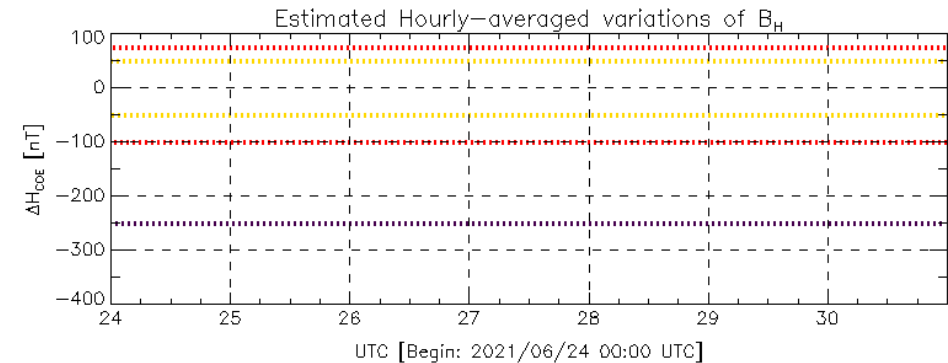
El índice Kp lo expresa a escala planetaria, mientras que el Kmex lo hace para el territorio mexicano.

# Perturbaciones geomagnéticas: Índice Dst y $\Delta H$

No se registró actividad geomagnética significativa en los índices Dst y  $\Delta H$  durante la semana.

NOTA: El cálculo del índice  $\Delta H$  se realiza por la estación geomagnética de Coeneo, Mich. Los datos son experimentales y no se deben de tomar como definitivos. **A partir del 24 de mayo la estación geomagnética de Coeneo se encuentra en proceso de mantenimiento técnico.**

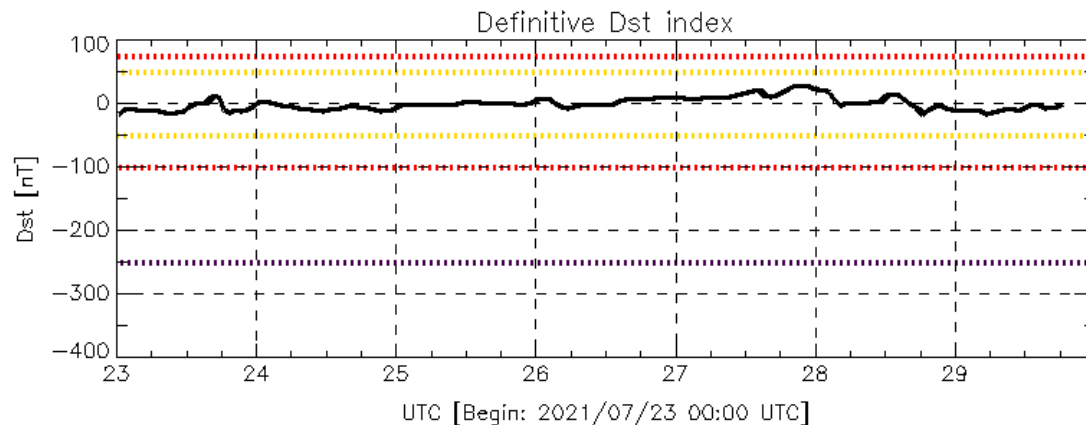
Datos: [wdc.kugi.kyoto-u.ac.jp/dst\\_realtime/](http://wdc.kugi.kyoto-u.ac.jp/dst_realtime/)



Color Code: weak, moderate, intense, extreme, data not available.

COE: Coeneo Geomagnetic Station (LAT 19.81, LON -101.69)  
LANC/SCIESMEX - Morelia, Mich., MX

Updated: 2021/07/01-16:58 UTC



Color Code: weak, moderate, intense, extreme, data not available.

Dst: by World Data Center for Geomagnetism, Kyoto  
[http://wdc.kugi.kyoto-u.ac.jp/dst\\_realtime/](http://wdc.kugi.kyoto-u.ac.jp/dst_realtime/)

Updated: 2021/07/29-18:46 UTC

Los índices Dst y  $\Delta H$  miden las variaciones temporales de la componente horizontal del campo geomagnético, el primero a escala planetaria y el segundo para México.

Estas variaciones, en general, se deben al ingreso de partículas cargadas, provenientes del espacio exterior, al ambiente espacial terrestre.

# Ionósfera sobre México: TEC en el centro del país (datos locales)

El contenido total de electrones (TEC) es un parámetro que sirve para caracterizar el estado de la ionosfera de la Tierra.

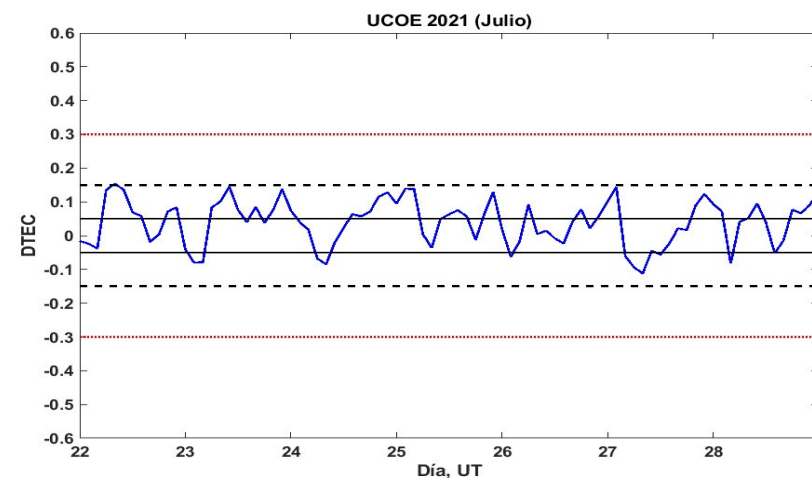
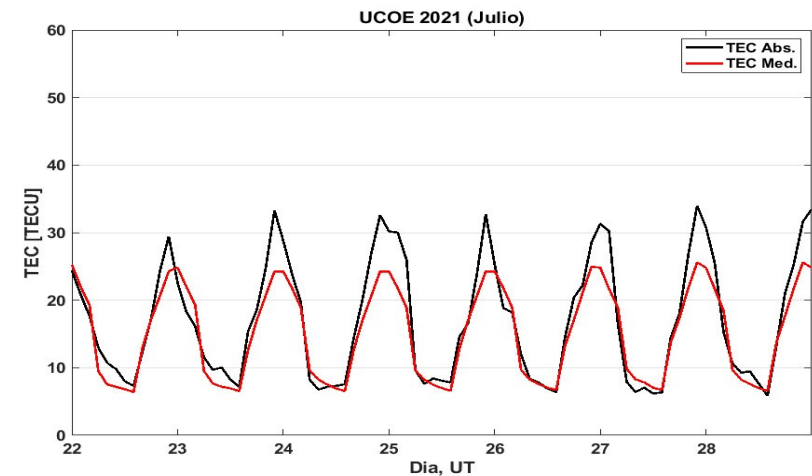
Serie temporal de los valores de TEC (negro) con referencia a su valor mediano (rojo) durante 22.07-28.07.2021 con base en los datos de la estación local UCOE (TLALOCNet, UNAVCO) ubicada en las instalaciones del MEXART.

Desviación de TEC de su mediana de los 27 días anteriores al día de observación con base en los datos de la misma estación.

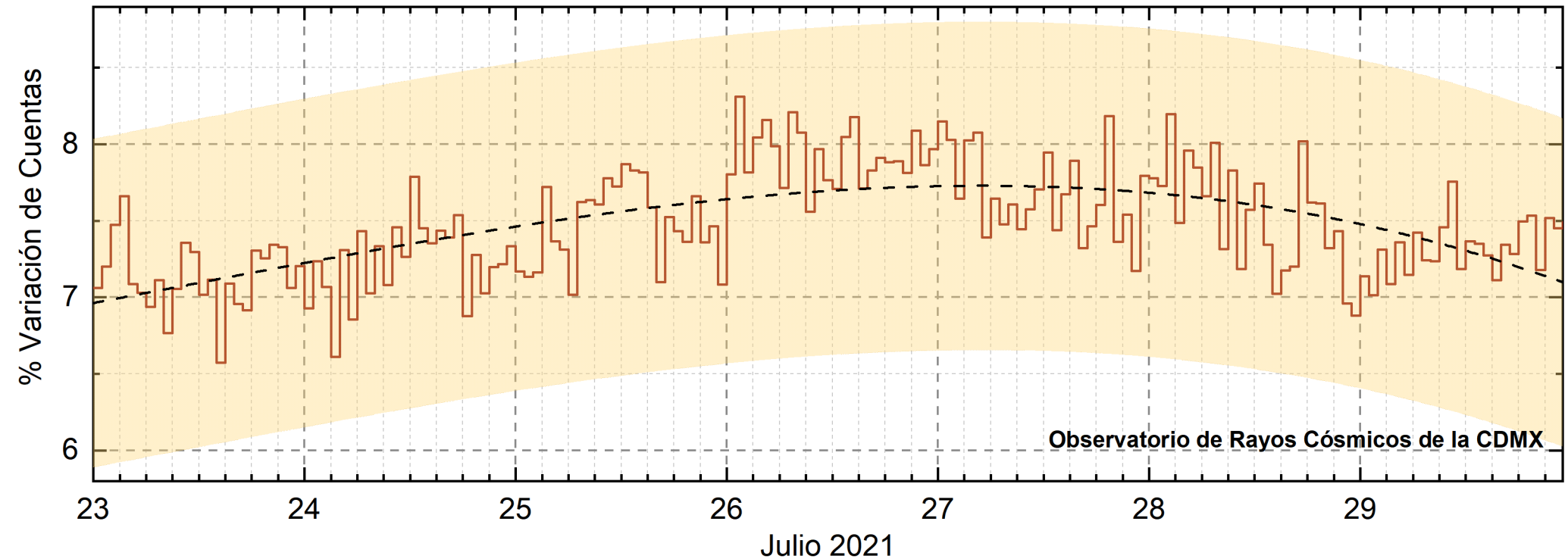
Según los datos locales, a lo largo de la semana se observaron valores de TEC elevados en las horas diurnas. Estas variaciones no son significativas.

El cálculo se realiza en base de TayAbsTEC software del Instituto de Física Solar-Terrestre, Sección Siberiana de la Academia de Ciencias de Rusia. Referencia: Yasyukevich et al., Influence of GPS/GLONASS Differential Code Biases on the Determination Accuracy of the Absolute Total Electron Content in the Ionosphere, Geomagn. and Aeron., ISSN 0016\_7932, 2015.

Referencia: Gulyaeva et al., GIM-TEC adaptive ionospheric weather assessment and forecast system. doi:10.1016/j.jastp.2013.06.011, 2013.



# Rayos Cósmicos:



<http://www.cosmicrays.unam.mx/>

Datos registrados por el Observatorio de Rayos Cósmicos de la Ciudad de México. La curva discontinua negra representa el promedio de los datos registrados, el área coloreada en amarillo representa la significación de los datos ( $\pm 3\sigma$ ). Cuando se registran variaciones que salen del área, es probable que éstas sean atribuidas a efectos de emisiones solares en el flujo de rayos cósmicos.

Del 23 al 29 de julio de 2021, no se detectaron incrementos significativos ( $>3\sigma$ ) en las cuentas de rayos cósmicos.

## UNAM/LANCE/SCiESMEX

Dr. J. Américo González Esparza  
Dr. Pedro Corona Romero  
Dra. Maria Sergeeva  
Dr. Julio C. Mejía Ambriz  
Dr. Luis Xavier González Méndez  
Dr. José Juan González Avilés  
Ing. Ernesto Andrade Mascote  
M.C. Pablo Villanueva Hernández  
Ing. Adan Espinosa Jiménez  
Ing. Juan Luis Godoy Hernández  
Dr. Ernesto Aguilar-Rodríguez  
Dra. Verónica Ontiveros  
Dra. Tania Oyuki Chang Martínez  
Ing. Juan José D'Aquino  
M.C. Víctor José Gatica Acevedo

## UNAM ENES-Morelia

Dr. Mario Rodríguez Martínez  
Dr. Víctor De la Luz Rodríguez  
Lic. Shaden Saray Hernández Anaya  
M.C. Raúl Gutiérrez Zalapa  
Rafael Zavala Molina  
Vanessa Arriaga Contreras

## UNAM/PCT

Lic. Elizandro Huipe Domratheva  
M.C. Víctor Hugo Méndez Bedolla  
M.C. Elsa Sánchez García  
M.C. Carlos Arturo Pérez Alanís

## UANL/LANCE

Dr. Eduardo Pérez Tijerina  
Dr. Enrique Pérez León  
Dr. Carlos de Meneses Junior  
Dra. Esmeralda Romero Hernández

## UNAM/IGF/RAYOS CÓSMICOS

Dr. José Francisco Valdés Galicia  
Fis. Alejandro Hurtado Pizano  
Ing. Octavio Musalem Clemente

## SERVICIO MAGNÉTICO

M.C. Esteban Hernández Quintero  
M.C. Gerardo Cifuentes Nava  
Dra. Ana Caccavari Garza

## CPCET/SAET-IPN

Ing. Julio Cesar Villagrán Orihuela  
Ing. Reynaldo Vite Sánchez  
Miguel Daniel González Arias  
Carlos Escamilla León  
Jessica Juárez Velarde  
Pablo Romero Minchaca  
Eric Bañuelos Gordillo  
Alfonso Iván Verduzco Torres  
Katia Lisset Ibarra Sánchez  
Angel Alfonso Valdovinos Córdoba  
Claudis Patricia López Martínez

**Elaboración:** Equipo SCiESMEX.

**Revisión:** Ernesto Aguilar Rodríguez

## Agradecimientos

El Laboratorio Nacional de Clima Espacial (LANCE) es parcialmente financiado por: el programa Cátedras CONACYT Proyecto 1045 y el Fondo Sectorial AEM-CONACYT proyecto 2014-01-247722. Agradecemos al proyecto Conacyt – Repositorio Institucional de Clima Espacial 268273. Agradecemos al proyecto AEM-2018-01-A3-S-63804 del Fondo Sectorial CONACYT-AEM. Agradecemos a todos los responsables y colaboradores de instrumentos del LANCE y a las redes de estaciones GPS del Servicio Sismológico Nacional y TlalocNET por facilitar sus datos. Agradecemos a Gerardo Cifuentes, Esteban Hernández y Ana Caccavari por los datos del Observatorio Magnético de Teoloyucan. De igual forma, agradecemos los servicios de IGS (International GNSS Service) por permitirnos usar los datos IONEX disponibles en: <ftp://cddis.gsfc.nasa.gov/pub/gps/products/ionex>. Los valores de TEC fueron obtenidos a partir de observaciones de las redes GPS del Servicio Sismológico Nacional (SSN), SSN-TLALOCNet y TLALOCNet del Servicio de Geodesia Satelital (SGS). Agradecemos al personal del SSN y del SGS por el mantenimiento de estaciones, la adquisición de datos y el soporte de IT de estas redes. Las operaciones de la red TLALOCNet y SSN-TLALOCNet GPS han sido apoyadas por The National Science Foundation bajo el proyecto EAR-1338091 a UNAVCO Inc., los proyectos CONACyT 253760 y 256012 y los proyectos UNAM-PAPIIT IN109315-3 y IN104818-3 de E. Cabral-Cano y el proyecto UNAM-PAPIIT IN111509 de R. Pérez. De igual forma, agradecemos a los proyectos de infraestructura del CONACyT: 253691 y del PAPIIT-DGAPA: IA107116 para el fortalecimiento de equipos como la estación fija de GPS, que forman parte del LACIGE-UNAM, de la ENES unidad Morelia a cargo de M. Rodríguez-Martínez, El cálculo de TEC se realiza: 1) utilizando el software US-TEC que es un producto de operación del Space Weather Prediction Center (SWPC), desarrollado a través de una colaboración entre National Geodetic Survey, National Oceanic and Atmospheric Administration (NOAA) y el Cooperative Institute for Research in Environmental Sciences of the University of Boulder, Colorado, 2) con base en el software TayAbsTEC del Instituto de Física Solar-Terrestre, sección Siberiana de la Academia de Ciencias Rusa. Parte del procesamiento de datos se lleva a cabo dentro del centro de Supercómputo de Clima Espacial (CESCOM) del LANCE. Así mismo agradecemos al Space Weather Forecasting Center for Astrophysics & Space Research de la University of California in San Diego y al Korean Space Weather Center por los datos de pronóstico para los modelos WSA-ENLIL y los mapas tomográficos por IPS. Agradecemos a la red e-callisto por los datos proporcionados de espectros electromagnéticos dinámicos de la red internacional de registro de eventos de radio solares.